

بکارگیری فیلترهای ورقی زیرباندی در ساختارهای با نرخ نمونهبرداری افزوده به منظور بهسازی گفتار

حمید شیخزاده

استادیار

دانشکده مهندسی برق، دانشگاه صنعتی امیرکبیر

حمیدرضا ابوطالبی

دانشجوی دکترا

دانشکده مهندسی برق، دانشگاه صنعتی امیرکبیر

جرج فریمن

دانشیار

دانشکده مهندسی برق و کامپیوتر، دانشگاه Waterloo، کانادا

رابرت برنن

محقق ارشد

معاون تحقیق و توسعه، شرکت DSPfactory، کانادا

چکیده

فیلترهای ورقی در دو کاربرد پاکسازی گفتار از نویز و حذف انعکاس، قابلیت خوبی را در زمینه بهسازی گفتار از خود نشان داده‌اند. مزایای فراوان پردازش در زیرباندها، موجبات گرایش محققین را به استفاده از فیلترهای ورقی زیرباندی (Subband Adaptive Filters: SAF) فراهم آورده است. سرعت همگرایی الگوریتم LMS - که بطور معمول برای تنظیم ضرائب فیلتر ورقی مورد استفاده قرار می‌گیرد - به میزان سفید بودن طیف و یا مقدار گسترش مقادیر ویژه ماتریس خودهمبستگی سیگنال ورودی بستگی دارد. هنگامی که برای نیل به تأخیر گروهی کمتر و سادگی طراحی باشکنک فیلتر، SAF در ساختارهای با نرخ نمونهبرداری افزوده (Over-Sampled SAF: OS-SAF) بکار گرفته می‌شود، رنگی شدن طیف سیگنال ورودی فیلتر ورقی، سرعت همگرایی الگوریتم LMS را تا حد زیادی کاهش می‌دهد. از آن جا که این رنگی بودن طیف، با در نظر گرفتن مشخصات باتک فیلتر آنالیز، شکلی معین و شناخته شده دارد، با اعمال برخی پیش‌پردازش‌ها می‌توان سیگنال ورودی را تا حدودی سفید نموده و سرعت همگرایی را بهبود بخشید.

در این تحقیق، بر اساس رابطه موجود میان مقادیر ویژه ماتریس خودهمبستگی ورودی و توان خطای خروجی LMS، دو روش فیلتر پیش‌تأکید و Decimation را برای سفیدسازی طیف پیشنهاد نموده و اثر آنها را بر پایه این رابطه تئوری بررسی و تحلیل می‌نماییم. روش فیلتر پیش‌تأکید اسکرچه با افزایش سطح طیف در منطقه قطع باعث بهبود رفتار الگوریتم LMS می‌گردد ولی اعمال آن، افزایش نسبی حجم محاسبات را به دنبال دارد. ولی روش Decimation نه تنها با گسترش طیف سیگنال زیرباند، ورودی سفیدتری را برای فیلتر ورقی فراهم می‌آورد، بلکه علاوه بر آن، میزان محاسبات را نیز به مقدار قابل توجهی کاهش می‌بخشد. با ادغام دو روش فیلتر پیش‌تأکید و Decimation و ارائه یک تکنیک ترکیبی، هم سرعت همگرایی در روش LMS به طور چشمگیری بهبود یافته و هم حجم محاسبات لازم (در مقایسه با حالت بدون سفیدسازی) کاسته می‌گردد.

با شبیه‌سازی سیستم OS-SAF در دو کاربرد پاکسازی گفتار از نویز و حذف انعکاس و اعمال تکنیک‌های ارائه شده برای سفیدسازی طیفی، افزایش سرعت همگرایی الگوریتم LMS مورد تأیید قرار گرفته است.

کلمات کلیدی

فیلتر ورقی زیرباندی، همگرایی الگوریتم LMS، روش‌های سفیدسازی طیفی، حذف نویز، حذف انعکاس، بهسازی گفتار.

Speech Enhancement Using Oversampled Subband Adaptive Filters

H. R. Abutalebi
Ph.D. Student
Electrical Engineering Department,
Amirkabir University of Technology.

H. Sheikhzadeh
Assistant Professor
Electrical Engineering Department,
Amirkabir University of Technology

R. L. Brennan
Vice-president Research, DSPfactory
Ltd., Waterloo, Ontario, Canada.

G. H. Freeman
Associate Professor
Electrical and Computer Engineering
Department, University of Waterloo,
Waterloo, Ontario, Canada

Abstract

Fullband adaptive filters have been successfully employed in the field of speech enhancement. To exploit the advantages of subband processing, Subband Adaptive Filters (SAFs) have been introduced. Because of the low processing delay, much reduced aliasing distortion and simplified implementation, OverSampled SAFs (OS-SAFs) have become a common practical solution for many adaptive applications. In this research, we have addressed the problem of noise/echo cancellation by OS-SAFs. Least Mean Square (LMS) algorithm and its variants are often used for adaptation of the filter coefficients. LMS convergence is closely related to the eigenvalue spread of the reference input. Despite its practical advantages, oversampling of the subband signals degrades the convergence behavior of the adaptive filters. Here, based on the eigenvalue analysis of the LMS convergence, we have proposed, implemented and evaluated two whitening methods that significantly improve the convergence rate of the OS-SAFs. They are: 1) Spectral emphasis and, 2) Decimation techniques. Furthermore, we have examined the hybrid decimation-spectral emphasis method that takes advantage of both techniques. Through simulation of the whole system in noise and echo cancellation setups, we have confirmed the effectiveness of the proposed methods.

Keywords

Subband Adaptive Filters, LMS convergence, Whitening methods Noise cancellation, Echo cancellation, Speech Enhancement

مقدمه

فیلترهای ورقی در کاربردهای متنوع و مختلفی مورد استفاده قرار گرفته و توانمندی خوبی از خود به نمایش گذاشده‌اند. در بحث بهسازی گفتار، بکارگیری فیلتر ورقی در دو کاربرد - که یکی پاکسازی سیگنال از نویز (Noise) و دیگری، حذف انعکاس (Echo Cancellation: ANC) می‌باشد - مطرح می‌گردد. (به عنوان نمونه، [۱، ۲] را ببینید).

شکل (۱) نحوه بکارگیری فیلتر ورقی را در مسئله ANC به نمایش گذاشده است. در این کاربرد، سیگنال نویز مرجع (x) توسط میکروفون اول و سیگنال گفتار (s) به همراه مؤلفه نویز ($'x$) از طریق میکروفون دوم دریافت می‌گردد. سیگنال‌های x و $'x$ همبسته و سیگنال s مستقل از آن دو بوده و اثر سیگنال گفتار در میکروفون اول ناچیز فرض می‌شود. فیلتر ورقی با مدلسازی همبستگی میان x و $'x$ و ساختن تقریبی از $'x$ و کسر آن از سیگنال گفتار نویزی (y)، سیگنال گفتار پاکسازی شده از نویز را در خروجی تولید می‌نماید.

وجود انعکاس و اختلال ناشی از آن در سیگنال گفتار یکی از مسائل و مشکلاتی است که در بسیاری از کاربردها از جمله انتقال سیگنال گفتار، ارتباطات مخابراتی و ... مطرح می‌باشد. در این مسائل، مطابق شکل (۲) گوینده دوردست (Far End: FE) صدای گوینده نزدیک (Near End: NE) را در حالی که به دلیل وجود انعکاس صدای خود گوینده FE دچار اختلال گردیده دریافت می‌دارد. در این کاربرد، وظیفه فیلتر ورقی مدلسازی تابع تبدیل مسیر آکوستیکی انعکاس و ساختن

نمونه‌ای از سیگنال انعکاس می‌باشد که با کسر این سیگنال از سیگنال میکروفون NE، مؤلفه‌های انعکاس حذف گردیده و سیگنال گوینده NE بصورتی بهبودیافته به بلندگوی FE می‌رسد.

اگرچه جزئیات قضیه و ماهیت سیگنال‌های ورودی در هر یک از دو حالت ANC و AEC با هم متفاوت می‌باشد ولی اصول فیلتر وفقی در هر دو کاربرد یکسان بوده و روابط و معادلات حاکم از شیاهت زیادی پرخوردار است. در یک نگاه کلی، در هر دو مورد پردازشگر وفقی را می‌توان سیستمی با دو ورودی، یکی سیگنال مرجع (x) و دیگری سیگنال مخلوط با نویز یا انعکاس ($x' = s + x$) در نظر گرفت. فیلتر وفقی با مدلسازیتابع تبدیل میان مؤلفه‌های همبسته بین دو سیگنال، نویز یا انعکاس موجود در سیگنال ورودی دوم را تقریب زده و با کم کردن این تقریب، سیگنال پاکسازی شده را تولید می‌نماید.

پیاده‌سازی ANC و AEC به صورت تمام‌باند^۱ در مراجع متعددی مورد بررسی و ارزیابی قرار گرفته است [۴-۱]. به طور معمول، روش LMS (یا برخی مشتقات آن) برای تنظیم ضرایب فیلتر وفقی بکار گرفته می‌شود. اگرچه سادگی محاسباتی از نقاط قوت و جاذبه‌های این روش می‌باشد ولی واپستگی شدید سرعت همگرایی به میزان سفید بودن طیف ورودی (و یا به بیان دیگر، میزان گسترش مقادیر ویژه ماتریس خودهمبستگی سیگنال ورودی)، عملکرد روش LMS را در مواجهه با سیگنال‌های غیرسفید دچار اختلال می‌نماید. از سوی دیگر، در عمدۀ مسائل عملی و کاربردی، بزرگ شدن طول فیلتر وفقی مشکل دیگری است که سیستم تمام‌باند را ناکارآمد می‌کند. بزرگ شدن طول فیلتر به نوبه خود اشکالاتی همچون کم شدن سرعت همگرایی، تأخیر زمانی زیاد، حجم بالای محاسبات، افزایش میزان نویز باقیمانده^۲ و عدم تطبیق^۳ را به دنبال می‌آورد.

در چند سال اخیر، استفاده از پردازش‌های زیرباندی^۴ و تلفیق آن با روش فیلتر وفقی، به عنوان راه حلی مناسب برای رفع معضلات فوق مطرح گردیده است [۵-۶]. به طور اجمالی می‌توان گفت که در این روش که از آن با نام فیلترهای وفقی زیرباندی یا به اختصار SAF (Subband Adaptive Filters) یاد می‌کنیم، سیگنال‌های دو کanal ورودی توسط یک بانک فیلتر آنالیز به باندهای مختلف تفکیک گردیده و در ادامه برای هر جفت سیگنال مربوط به یک باند، یک فیلتر وفقی استفاده می‌گردد. خروجی‌های باندها از طریق یک بانک فیلتر سنتز با هم ترکیب شده و خروجی کلی را می‌سازند. مزایای عمدۀ استفاده از روش SAF را (در مقایسه با فیلتر وفقی تمام‌باند) می‌توان در مواردی همچون افزایش سرعت همگرایی، کوتاه شدن طول فیلتر وفقی، امکان تنظیم پارامترهای فیلتر وفقی متناسب با خواص هر باند فرکانسی و یا به طور کلی تر، امکان اعمال پردازش‌های متفاوت بر روی باندهای مختلف و هماهنگی با بحث پردازش موازی برشمرد [۶-۷].

هرچند مسئله هماهنگی با ساختار شناوری در انسان، استفاده از بانک فیلترهایی با توزیع غیریکنواخت باندها (و در واقع توزیع شبکه‌لگاریتمی باندها) را پیشنهاد می‌نماید، ولی هزینه کم و سادگی پیاده‌سازی بانک فیلترهای یکنواخت، کاربرد روز افزون آنها را در پی داشته است [۷].

در این مقاله، نخست به معرفی سیستم SAF پرداخته و دلایل رویکرد به ساختارهای با نرخ نمونه‌برداری افزوده (Over-Sampled SAF: OS-SAF) را برخواهیم شمرد. خواهیم دید که استفاده از روش OS-SAF علیرغم به همراه داشتن برخی مزایای قابل توجه، به دلیل رنگی کردن طیف ورودی فیلتر وفقی با مشکل کاهش سرعت همگرایی روبروست. در بخش دوم به مطالعه رابطه تئوری میان مقادیر ویژه ماتریس خودهمبستگی سیگنال ورودی و نحوه همگرایی فیلتر وفقی پرداخته و بر اساس این آنالیز، در بخش سوم روش‌هایی برای سفیدسازی طیف ورودی و بهبود رفتار الگوریتم LMS ارائه می‌دهیم. بخش چهارم نیز به بررسی نتاج حاصل از شبیه‌سازی روش‌های مزبور در کاربردهای عملی ANC و AEC و اثر این تکنیک‌ها در بهبود سرعت همگرایی OS-SAF اختصاص دارد.

۱- بررسی ساختار سیستم SAF

شکل (۳) شماتیکی سیستم SAF را در کاربرد ANC یا AEC به نمایش گذاشده است. بانک فیلترهای آنالیز، سیگنال مرجع (x) و سیگنال مخلوط با نویز یا انعکاس (y) را به K زیرباند تفکیک می‌نماید. با توجه به کاهش پهنای باند سیگنال در خروجی بانک فیلتر، امکان کاهش فرکانس نمونه‌برداری وجود داشته و این کار توسط بلوک کاهنده نرخ نمونه‌برداری به نسبت R صورت می‌پذیرد. در ادامه، سیگنال‌های زیرباند متناظر از دو کanal ورودی وارد یک پردازشگر وفقی گردیده و سیگنال بهبودیافته زیرباند را در خروجی تولید می‌نماید. این سیگنال‌های زیرباند از طریق یک بانک فیلتر سنتز باهم ادغام گشته و

خروجی بهبودیافته تمام باند را می‌سازند. پردازشگر وفقی مورد استفاده، یک فیلتر وفقی به شکل (۴) است که بر روی سیگنال‌های زیرباند مربوطه عمل نموده و ضرائب آن توسط الگوریتم LMS تنظیم می‌گردد.
بانک فیلترهای با نرخ نمونه‌برداری بحرانی^۵ – که در آنها تعداد باندها (K) با میزان کاهش نرخ نمونه‌برداری در هر باند
برابر است – و نمونه بارز آنها، اولین گزینه برای بانک فیلتر مورد استفاده در SAF می‌باشد. ولی بررسی‌ها و
پیاده‌سازی‌های عملی حاکی از آن است که بکارگیری این بانک فیلترها در روش SAF نه تنها به دلیل مشکل طراحی بهینه
فیلترهای prototype به اختلال در عملکرد الگوریتم وفقی می‌انجامد [۸،۹]. بلکه علاوه بر آن با تغییر بهره در زیرباندها، بانک
فیلتر توانایی خود را در حذف aliasing از دست می‌دهد [۱۰].

استفاده از یک سری فیلتر وفقی اضافی با نام فیلترهای وفقی پیوندی^۷ که بین سیگنال‌های مربوط به باندهای مجاور عمل
می‌نماید [۵]، و یا بهره‌گیری از بانک فیلترهای با شکاف^۸ فرکانسی [۱۱] راه حل‌هایی است که در برخی مراجع برای این
مشکل پیشنهاد شده است. با وجود این، در مورد اول به دلیل دشواری‌های متعدد ناشی از وارد کردن این فیلترهای اضافی و
نیز ناچیز بودن اثر این فیلترها در بهبود عملکرد کلی سیستم، و در مورد دوم به دلیل اعوجاج ناشی از بانک فیلتر هیچکدام از
این دو ایده چندان مورد استقبال و استفاده قرار نگرفته است. بکارگیری بانک فیلترهای با نرخ نمونه‌برداری افزوده
(over-sampled) راه حل برتری است که گرایش به آن در بسیاری از سیستم‌های جدید SAF مشاهده می‌گردد [۱۰،۶]. در
این بانک فیلترها، میزان کاهش نرخ نمونه‌برداری در خروجی هر باند (R) کمتر از تعداد باندها (K) می‌باشد. اگر چه در برخی
از منابع و مراجع میزان افزونگی^۹ در مقادیری بین ۱ و ۲ محدود مانده است (یا به عبارتی، $2 < OS = K/R < 1$) [۶،۱۲،۱۳]
ولی در بسیاری از کاربردهای عملی، لزوم پایین بودن تأخیر گروهی^{۱۰} و سادگی پیاده‌سازی، افزایش میزان افزونگی را طلب
می‌نماید. استفاده از مقادیر بزرگتر از ۲ برای OS، طراحی فیلترهای prototype را ساده نموده و حذف aliasing را همزمان با
دستیابی به تأخیر گروهی کم میسر می‌سازد [۱۰].

Brennan و همکاران وی [۱۴] با رعایت مزایومات فوق، بانک فیلتر WOLA^{۱۱} را به عنوان ابزاری توانمند، کارآمد و بهینه
برای استفاده در پردازش‌های زیرباندی ارائه دادند. WOLA، یک بانک فیلتر DFT است که با پیچیدگی محاسباتی کم،
تأخیر گروهی ناچیز و توان مصروفی کم، قابلیت و کارآبی بسیار خوبی را در تفکیک سیگنال به زیرباندها (آنالیز) و نیز ترکیب
زیرباندها و تولید سیگنال اصلی (سنتز) دارا می‌باشد. استفاده از ساختار over-sampled به عنوان برجسته‌ترین ویژگی این بانک
فیلتر، ویژگی‌ها و نقاط قوت پردازشی مهمی همچون امکان تنظیم بهره هر باند را فراهم آورده است. این نکته در کاربردهای
پردازش گفتاری و مصارفی همچون سمعک‌ها ... یکی از موارد مطلوب در سیستم می‌باشد [۱۰،۱۴].

با عنایت به ویژگی‌های فوق، WOLA به عنوان بانک فیلتر مورد استفاده در این پژوهش انتخاب گردیده است. میزان OS در
WOLA پارامتری قابل تنظیم بوده و معمولاً برای افزایش کارآبی محاسباتی به صورت توانی از دو تعیین می‌شود. افزایش OS
مزایایی همچون حذف بهتر aliasing، طراحی ساده‌تر فیلتر prototype و تأخیر گروهی کمتر و در عین حال، معایبی همچون
افزایش نرخ مؤثر نمونه‌برداری و بالا رفتن توان مصروفی را به دنبال می‌آورد. با توجه به این دو جنبه، در تحقیق حاضر میزان
افزونگی برابر $OS=4$ تنظیم گردیده است. با در نظر گرفتن فرکانس نمونه‌برداری ۱۶ کیلوهرتز، برای دستیابی به دقت فرکانسی
مناسب تعداد زیرباندها برابر $K=32$ است. (با توجه به تقارن فرکانسی، در عمل سیستم مورد استفاده دارای ۱۶
زیرباند حقیقی است). دیگر پارامتر بانک فیلتر WOLA، طول فیلتر prototype مورد استفاده است؛ برای نیل به نقطه تعادلی
میان اندازه تأخیر گروهی از یکسو و میزان aliasing از سوی دیگر، طول این فیلتر $L=128$ تعیین گردیده است.

به منظور نمایش توانمندی ساختار زیرباند در تسریع همگرایی پردازش وفقی، اقدام به شبیه‌سازی سیستم‌های OS-SAF
تمام‌باند نموده‌ایم. میزان خطای میانگین مربعی (MSE) مربوط به این دو سیستم در شکل (۵) رسم گردیده است. در این
شبیه‌سازی، یک فیلتر پایین‌گذر به عنوانتابع تبدیل آکوستیکی $P(z)$ مورد استفاده قرار گرفت. در مسائل واقعی، با توجه به
مسئله نایستانی و تغییر مشخصات آکوستیکی سیستم در زمان، سرعت بیشتر ساختار OS-SAF در کاهش MSE بر جذابیت
این روش می‌افزاید. اگرچه همان‌گونه که این شکل نشان می‌دهد، با مرور زمان میزان خطای روش تمام‌باند کمتر از روش
OS-SAF می‌گردد، ولی مسئله اینست که در عمل پیش از رسیدن به این نقطه زمانی، مشخصات محیطی تغییر می‌نماید.
با وجود این، سرعت همگرایی در روش OS-SAF هنوز برای برخی از کاربردها در حد قابل قبول نبوده و باید به دنبال راه

حلی جهت تسريع همگرایی بود. همان گونه که در ادامه خواهیم دید، مسأله over-sampling باعث رنگی شدن طیف سیگنال ورودی گشته و اثرات مثبت پردازش زیرباندی در تسريع همگرایی را تحت الشاعع قرار داده است. هدف اصلی پژوهش حاضر، بررسی تئوری مسأله همگرایی در فیلتر وفقی و ارائه راه حل هایی مبتنی بر این تئوری برای بهبود همگرایی در روش OS-SAF می باشد.

۲- آنالیز همگرایی روش LMS بر اساس مقادیر ویژه ماتریس خودهمبستگی

رابطه معکوس میزان گسترش مقادیر ویژه ماتریس خودهمبستگی سیگنال ورودی با سرعت همگرایی روش LMS مسأله ای شناخته شده می باشد [۱۵-۴]. در مرجع [۱۵] Morgan با یک مطالعه پایه ای و تئوریک، رابطه ای تقریبی برای تغییرات زمانی MSE بر حسب مقادیر ویژه ماتریس خودهمبستگی سیگنال ورودی استخراج نموده و از طریق چندین مثال و شبیه سازی اعتبار آن را مورد بررسی و تأیید قرار داده است.

در مقاله حاضر، ما از رابطه Morgan برای بررسی نحوه همگرایی روش LMS در ساختار OS-SAF استفاده می نماییم. لازم به ذکر است که با عنایت به خاصیت تعامل در بین سیگنال های خروجی مربوط به زیرباندهای مختلف، در این بررسی تئوری ما فقط به مطالعه نحوه همگرایی در یک زیرباند (زیرباند اول) می پردازیم. می توان چنین فرض نمود که میزان خطای میانگین مربعی تمام باند، حاصل جمع مقادیر متناظر با زیرباندهای مختلف می باشد.

با توجه به شکل (۴)، رابطه LMS برای تنظیم ضرائب فیلتر وفقی w (به طول M) عبارتست از:

$$w_{n+1} = w_n + \mu z_n x_n \quad (1)$$

که در آن μ اندازه گام و

$$z_n = y_n - w_n^T x_n \quad (2)$$

خروجی پاکسازی شده از نویز یا انعکاس می باشد. x_n بردار سیگنال مرجع (به طول M) و y_n مقدار سیگنال مخلوط با نویز یا انعکاس در لحظه n است. برای سادگی، زیرنویس k که نمایانگر شماره زیرباند سیگنال ها و سیستم هاست، حذف گردیده است. همچنین فرض می نماییم که $E\{x_n^2\} = 1$ و از اینرو، رابطه (۱) بیانگر رابطه Normalized LMS نیز می باشد. داریم: $y_n = s_n + x'_n$ و بنابراین خروجی سیستم عبارت خواهد بود از:

$$z_n = s_n + x'_n - w_n^T x_n \quad (3)$$

و در نتیجه خواهیم داشت:

$$z_n^2 = s_n^2 + (x'_n - w_n^T x_n)^2 + 2 s_n (x'_n - w_n^T x_n). \quad (4)$$

با توجه به ناهمبسته بودن s_n با x_n و x'_n می توان گفت:

$$E\{z_n^2\} = E\{s_n^2\} + E\{(x'_n - w_n^T x_n)^2\}. \quad (5)$$

$E\{s_n^2\}$ در کاربرد ANC توان سیگنال گفتار تمیز و در AEC توان سیگنال NE بوده و در عملیات تنظیم ضرائب فیلتر وفقی دست نخورده باقی می ماند. داریم:

$$\min E\{z_n^2\} = E\{s_n^2\} + \min E\{(x'_n - w_n^T x_n)^2\}. \quad (6)$$

وقتی که $\{z^2\} = E\{(x'_n - w_n^T x_n)^2\}$ مینیمم شده و از این‌رو، $w_n x_n^T$ بهترین تخمین LS برای x خواهد بود. همچنین با توجه به رابطه $z_n - s_n = x'_n - w_n^T x_n$ است که z_n هم بهترین تخمین LS برای s_n خواهد بود. Morgan نشان داده است [۱۵] که در مورد فیلترهای وققی با طول متوسط یا بزرگ (مثلًا $M > 16$)، رابطه زیر برای بیان میزان MSE قابل ارائه می‌باشد:

$$\xi_n = E\{z_n^2\} = \xi_{\min} + \frac{1}{M} \sum_{m=1}^M \lambda_m (1 - \mu \lambda_m)^{2n} \quad (7)$$

که در آن

$$\xi_{\min} = E\{s_n^2\} + E\{x'^2\} - r_{xx'}^T R_{xx'}^{-1} r_{xx'} \quad (8)$$

و $r_{xx'} = E\{x_n x_n^T\}$ ، $R_{xx'} = E\{x_n x_n^T\}$ ، $\lambda_m = E\{x_n x_n'\}$ و $r_{xx'} = E\{x_n x_n'\}$ مقادیر ویژه ماتریس خودهمبستگی R_{xx} می‌باشد. برای همخوانی نتایج، در ادامه این بحث فرض می‌گیریم که $\mu = 0.1/M$ و نیز اینکه توان سیگنال ورودی واحد می‌باشد (یا به بیان دیگر $\text{tr}(R_{xx}) = M$ و $\xi_{\min} = 1 - \xi$ برای $n = 0$).

۱-۲- بکارگیری رابطه Morgan برای بررسی همگرایی در OS-SAF

شکل (۶-الف) طیف سیگنال زیرباند ورودی به فیلتر وققی (x_k) را در حالتی که سیگنال مرجع (x) سفید باشد، نمایش می‌دهد. مسئله over-sampling باعث گردیده که طیف x_k دیگر سفید نبوده و پهنای باند آن برابر با $B_{-6dB} = \pi/OS$ (و یا بر اساس پارامترهای سیستم مورد استفاده در این تحقیق، $B_{-6dB} = \pi/4$) باشد. این رنگی بودن طیف نقش اساسی را در کاهش سرعت همگرایی ایفا می‌نماید. این مسئله را بر اساس مقادیر ویژه ماتریس خودهمبستگی و با استفاده از رابطه (۷) نیز می‌توان تحلیل نمود. مقادیر ویژه ماتریس خودهمبستگی سیگنال x_k (λ_m ‌ها) به ترتیب صعودی در شکل (۶-ب) رسم گردیده است. در یک نگاه کلی با مقایسه دو شکل (۶-الف) و (۶-ب)، نمودار مقادیر ویژه را می‌توان به صورت تصویر آینه‌ای طیف سیگنال در نظر گرفت. این، نکته‌ای خارج از انتظار نیست؛ چرا که برای مقادیر متوسط یا بزرگ M (طول فیلتر وققی) ساختار Toeplitz ماتریس خودهمبستگی به صورت یک ماتریس Circulant قابل تقریب زدن بوده و بنابراین λ_m ‌ها در واقع همان نمونه‌های طیفی سیگنال x_k می‌باشد [۱۶].

مشخصه MSE متناظر با این مقادیر ویژه با استفاده از رابطه (۷) محاسبه و در شکل (۶-ج) به نمایش در آمده است. نحوه همگرایی روش LMS را بر اساس مقادیر ویژه مختلف ماتریس خودهمبستگی می‌توان تحلیل نمود. در فرمول (۷) برای محاسبه MSE دو مؤلفه λ_m و λ_m^{2n} در میزان تأثیر هر مقدار ویژه نقش داشته و افزایش یکی از این دو مؤلفه کاهش دیگری را به دنبال دارد. با مشتق‌گیری از رابطه $f(\lambda) = \lambda(1 - \mu\lambda)^{2n}$ نسبت به λ ، در یک دید کلی می‌توان گفت که در لحظه زمانی n_0 ، مقدار ویژه غالب دارای مقداری برابر با

$$\lambda = \frac{1}{\mu(1 + 2n_0)} \quad (9)$$

می‌باشد. اگر چه در واقع همه مقادیر ویژه در همه زمان‌ها در تغییرات MSE مؤثر می‌باشد، ولیکن - مطابق با ارتباط معکوسی که رابطه (۹) بین λ و n بیان می‌نماید - واضح است که در لحظات اولیه همگرایی (n کوچک)، جملات مربوط به λ_m ‌های بزرگ در جمع موجود در رابطه (۷) تأثیر غالب داشته و بر عکس، پس از گذشت زمان طولانی (n بزرگ)، λ_m ‌های کوچک نقش غالب‌تری در میزان MSE به خود می‌گیرند. به بیان دیگر، هرگونه افزایش λ_m ‌های بزرگ میزان MSE را در لحظات اولیه (n کوچک) کاهش می‌دهد و بر عکس، برای بهبود MSE در n بزرگ، باید λ_m ‌های کوچک را افزایش داد. البته باید در نظر داشت که با توجه به فرض واحد بودن توان سیگنال مرجع، همواره داریم:

$$\sum_{m=1}^M \lambda_m = \text{tr}(R_{xx}) = M. \quad (10)$$

۳- روش‌های پیشنهادی برای سفیدسازی طیف سیگنال ورودی و بهبود همگرایی

الگوریتم LMS

همان‌گونه که پیش از این ذکر شد، سفید نبودن طیف سیگنال ورودی، امری نامطلوب در روند همگرایی الگوریتم LMS می‌باشد. از آنجا که این طیف رنگی ناشی از مسئله over-sampling بوده و از این‌رو دارای شکلی معین و شناخته شده است، این امکان وجود دارد که با استفاده از یک سری پیش‌پردازش‌ها یا روش‌های سفیدسازی، طیف را به سمت سفید شدن سوق داده و سرعت همگرایی روش LMS را بهبود بخشیم. در ادامه، به معرفی دو روش فیلتر پیش تأکید و Decimation برای سفیدسازی طیف سیگنال ورودی فیلتر وفقی پرداخته و اثر آنها را در بهبود همگرایی OS-SAF بررسی می‌نماییم.

۳-۱- سفیدسازی طیفی با استفاده از فیلتر پیش تأکید

۳-۱-۱- طراحی فیلتر پیش تأکید

افت شدید طیف در باند قطع^{۱۲} و وجود صفرهای طیفی در سیگنال ورودی فیلتر وفقی، باعث تولید مقادیر ویژه بسیار کوچک برای ماتریس خودهمبستگی سیگنال ورودی و در نتیجه کاهش سرعت همگرایی گردیده است. اولین راه حل ممکن برای بهبود رفتار الگوریتم LMS افزایش سطح قطع در منطقه قطع با بکارگیری یک فیلتر پیش تأکید می‌باشد. از آنجا که مشخصه فرکانسی فیلتر prototype مورد استفاده در بانک فیلتر آنالیز معین می‌باشد، از لحاظ تئوری می‌توان از فیلتری با پاسخ فرکانسی معکوس فیلتر prototype استفاده نموده و طیف سیگنال ورودی را کاملاً سفید نموده ولی این اقدام، نه تنها به پیاده‌سازی یک فیلتر IIR با مرتبه بسیار بالا می‌انجامد بلکه علاوه بر آن، دقت بسیار زیاد در محاسبات را طلب نموده و از این رو عملًا امکان‌پذیر نمی‌باشد. در این تحقیق، برای باقی نگهدارشتن میزان محاسبات در حدی قابل قبول، در طراحی فیلتر پیش تأکید خود را به استفاده از فیلتری IIR با حداکثر دو جفت قطب مزدوج (P_1 و P_2) محدود نموده‌ایم. با توجه به شکل (۶-الف) طیف سیگنال ورودی مرجع فیلتر وفقی دارای چهار جفت صفر مزدوج با مقادیر:

$$Z_1 = r_1 \exp(\pm 0.5615\pi), Z_2 = r_2 \exp(\pm 0.6895\pi), Z_3 = r_3 \exp(\pm 0.8145\pi), Z_4 = r_4 \exp(\pm 0.9375\pi)$$

می‌باشد. اگرچه با قرار دادن قطب‌های فیلتر پیش تأکید بر روی دو جفت از صفرهای فوق، می‌توان اثر آن دو جفت صفر را حذف و تعدادی از مقادیر ویژه را افزایش داد ولی وجود دو جفت صفر دیگر در طیف سیگنال ورودی باقی ماندن چند مقدار ویژه با مقدار کوچک را به دنبال خواهد داشت. در عمل دیده می‌شود که با قرار دادن دو جفت قطب فیلتر پیش تأکید یکی بین دو صفر Z_1 و Z_2 و دیگری در بین Z_3 و Z_4 و تنظیم شعاع محل قطب‌ها می‌توان افزایش قابل توجهی را در مقادیر ویژه کوچک ایجاد نمود. با تعیین:

$$P_1 = 0.9 \exp(\pm 0.6255\pi), P_2 = 0.9 \exp(\pm 0.8790\pi)$$

پاسخ فرکانسی فیلتر پیش تأکید به شکل (۶-الف) در آمده و در نتیجه سیگنال خروجی این فیلتر دارای طیفی به شکل (۷-ب) خواهد بود. در مقایسه با سیگنال اولیه (بدون پیش تأکید)، افزایش سطح طیف در باند قطع بخوبی مشاهده می‌گردد. شکل (۷-ج) مقادیر ویژه ماتریس خودهمبستگی سیگنال پیش تأکید شده را به نمایش گذارده است. افزایش مقادیر ویژه کوچک، مشهود و قابل توجه می‌باشد.

۳-۲- بکارگیری فیلتر پیش تأکید برای بهبود سرعت همگرایی

ایده سفیدسازی طیفی با استفاده از فیلتر پیش تأکید (یا به اصطلاح، روش Whitening by Spectral Emphasis: WBS) را پیش از این در مرجع [۱۷] مطرح نمودیم. در اینجا به تحلیل و ارزیابی عملکرد این روش بر مبنای تئوری Morgan

می‌پردازیم. شکل (۸) چگونگی بکارگیری تکنیک WBS را به نمایش گذارد است. (f_{emp}) همان فیلتری است که مشخصات آن در بخش (۱-۱-۳) مورد بحث قرار گرفت. نکته مهم وقابل توجه آن که فیلتر پیش‌تأکید در یک شاخه جانبی بر روی هر دو سیگنال ورودی اثر کرده و خروجی آن تنها برای تنظیم ضرایب فیلتر وفقی مورد استفاده قرار می‌گیرد. در هر دوره تکرار، ضرایب تنظیم شده در شاخه جانبی ($w'_k(n)$) در فیلتر وفقی شاخه اصلی ($w_k(n)$) کپی گردیده و وظیفه فیلتر نمودن سیگنال مرجع و تولید خروجی پاکسازی شده را به انجام می‌رساند.

قابل ذکر است که استفاده از روش WBS تأثیری در مسئله مدلسازی تابع تبدیل آکوستیکی ندارد. برای تشریح این موضوع، عملکرد فیلتر وفقی را با فرض صفر بودن ورودی s در نظر می‌گیریم. در این وضعیت، فیلتر وفقی موجود در شکل (۴) در عمل تابع تبدیل میان دو سیگنال ورودی (یا معادلاً، زیرباند k -ام از تابع تبدیل آکوستیکی، یعنی $(z)_k P(z)$) را مدل می‌نماید. داریم:

$$W_k(z) \xrightarrow{\text{in Limit}} \frac{X'_k(z)}{X_k(z)} = \frac{X_k(z)P_k(z)}{X_k(z)} = P_k(z) \quad (11)$$

که در آن $X_k(z)$ و $X'_k(z)$ به ترتیب زیرباند k -ام سیگنال مرجع و سیگنال نویز یا انعکاس موجود در ورودی دوم می‌باشد که در حوزه تبدیل Z بیان شده است. به طور مشابه در مورد شکل (۸) داریم:

$$W_k(z) = W'_k(z) \xrightarrow{\text{in Limit}} \frac{X'_k(z)F_{\text{emp}}(z)}{X_k(z)F_{\text{emp}}(z)} = \frac{X_k(z)P_k(z)F_{\text{emp}}(z)}{X_k(z)F_{\text{emp}}(z)} = P_k(z). \quad (12)$$

به بیان ساده می‌توان گفت از آنجا که فیلتر پیش‌تأکید بر هر دو سیگنال ورودی اعمال گردیده، اثر آن در مسئله مدلسازی تابع تبدیل آکوستیکی حذف گشته است.

همانگونه که ذکر شد، از نقطه نظر مقادیر ویژه، سفیدسازی از طریق اعمال فیلتر پیش‌تأکید را می‌توان به افزایش λ_m ‌های کوچک تعبیر نمود. با توجه به محدودیت اعمال شده توسط رابطه (۱۰) این موضوع کاهش λ_m ‌های بزرگ را به دنبال دارد. مقادیر ویژه ماتریس خودهمبستگی سیگنال پیش‌تأکید شده (یعنی $(n)_k * f_{\text{emp}}(n)$) مجدداً در شکل (۹) رسم گردیده است. تغییرات زمانی MSE را بر اساس رابطه (۷) و با استفاده از مقادیر ویژه سیگنال پیش‌تأکید شده محاسبه و در شکل (۱۰) نمایش داده‌ایم. همانگونه که از این شکل پیداست، گرچه کاهش λ_m ‌های بزرگ، در لحظات ابتدایی روند کاهش MSE را کند نموده ولی در عوض افزایش λ_m ‌های کوچک در اثر پیش‌تأکید باعث شده تا پس از مدتی میزان MSE با سرعت بسیار بیشتری نسبت به حالت بدون سفیدسازی (No Whitening: NoW) کاهش یابد.

هرچند فیلتر پیش‌تأکید باعث تسریع در همگرایی NLMS می‌شود، ولی اعمال این فیلتر منجر به افزایش قابل توجه بار محاسباتی الگوریتم گردیده و از این نظر چندان مطلوب نمی‌باشد. در ادامه به معرفی روشی دیگر برای سفیدسازی طیف همزمان با کاهش بار محاسباتی می‌پردازیم.

۲- سفیدسازی طیفی با استفاده از روش Decimation

با توجه به محدودیت پهنای باند سیگنال ورودی فیلتر وفقی به $B_{-6dB} = \pi/4$ ، افزایش پهنای باند و سفیدسازی از طریق Decimation به عنوان یک راه حل برای بهبود همگرایی روش LMS مطرح می‌گردد. شکل (۱۱) بلوک پردازشگر وفقی را در حالت WBD نشان می‌دهد. در ساختار مورد بحث این تحقیق که OS = 4 می‌باشد، DEC = 2 را مورد استفاده قرار داده‌ایم. طیف‌های شماتیک رسم شده در شکل (۱۲) روند تکنیک WBD را به نمایش گذارد است. decimation به نسبت ۲، پهنای باند سیگنال‌های ورودی را دو برابر می‌کند. لازم به ذکر است در این تحقیق، فرض ثابت بودن حافظه زمانی را در مورد فیلترهای وفقی اعمال نموده‌ایم. از این رو در حالی که فیلتر $(n)_k$ دارای طول $M = 16$ می‌باشد، طول فیلتر شاخه جانبی $(w'_k(n))$ برابر با $M/2 = 8$ می‌باشد. پس از هر نوبت تنظیم ضرائب فیلتر وفقی $(n)_k$ ، ضرائب فیلتر upsampling گردیده و در فیلتر وفقی اصلی یعنی $(n)_k$ کپی می‌شود. عملیات upsampling در عمل همان اضافه نمودن یک

ضریب مساوی صفر در بین هر دو ضریب متواالی فیلتر (n)_{k'}^w می‌باشد. اگرچه این فرایند منجر به تولید تصاویر طیفی^{۱۳} می‌شود ولی با توجه به دو شکل (۱۲-الف) و (۱۲-ج) به دلیل انرژی ناچیز سیگنال ورودی در $4/\pi > \omega$ ، این مسأله باعث تولید اعوجاج در خروجی نخواهد گردید.

مقدار ویژه ماتریس خودهمبستگی سیگنال ورودی در حالت WBD در شکل (۹) مشخص شده است. برای فراهم سازی امکان مقایسه با حالت‌های قبلی، λ_m ‌های مربوط به روش Decimation را در اندیس‌های فرد رسم نموده‌ایم. همانگونه که پیداست، این تکنیک سفیدسازی طیفی با افزایش پهنای باند به بزرگ شدن λ_m ‌های متوسط می‌انجامد. این مسأله تسریع همگرایی LMS را پس از گذشت یک مدت زمان گذرای اولیه سبب می‌گردد. این نکته به خوبی از منحنی تغییرات زمانی MSE که در شکل (۱۰) رسم شده، هویتاً می‌باشد.

جدابیت عمدۀ روش WBD، مسأله کاهش حجم محاسبات می‌باشد. این موضوع از دو جنبه قابل توجه است: اولاً، آن که در این تکنیک در هر DEC بار دوره تکرار، تنظیم فیلتر وفقی تنها در یک نوبت صورت می‌پذیرد و ثانیاً، این که ضرائب صفر موجود در فیلتر وفقی (n)_{k'}^w نیز حجم عملیات لازم برای اعمال فیلتر وفقی را DEC برابر کم می‌کند.

از لحاظ تئوری، روش WBD با هر ضریب DEC کوچکتر یا مساوی با OS میسر می‌باشد ولی در عمل، مشخصه آرام و نه چندان تیز فیلتر prototype باعث می‌شود که بکارگیری DEC‌های بزرگتر به افزایش میزان aliasing و اعوجاج در سیگنال خروجی بینجامد.

۳-۳- ترکیب دو روش فیلتر پیش تأکید و Decimation برای سفیدسازی طیفی

اگرچه روش WBD با افزایش پهنای باند همگرایی را تا حدودی بهبود می‌بخشد ولی این تکنیک قادر به افزایش سطح انرژی در باند قطع سیگنال نبوده و نمی‌تواند کوچکترین λ_m ‌ها را افزایش دهد. با ترکیب دو روش WBD و WBS و ارائه روش WBDS امکان حل این مشکل فراهم می‌آید. شکل (۱۳) بلوک دیاگرام پردازشگر وفقی را در این حالت نشان می‌دهد. اعمال decimation کار طراحی فیلتر (.)_{f_{emp}} را ساده نموده است. در اینجا از یک فیلتر ساده IIR درجه دو - که پاسخ فرکانسی آن در شکل (۱۴) رسم گردیده - به عنوان فیلتر پیش تأکید استفاده نموده‌ایم.

همانگونه که منحنی رسم شده با علامت مربع در شکل (۹) نشان می‌دهد، بکارگیری روش WBDS تعداد زیادی مقدار ویژه بزرگ (و تقریباً مساوی) تولید می‌نماید که تعبیری از سفید شدن طیف سیگنال ورودی می‌باشد. منحنی رسم شده با علامت مربع در شکل (۱۰) میزان MSE را در حالت WBDS به نمایش گذارد است. هرچند مقدار کوچکتر λ_m ‌های بزرگ (در مقایسه با بقیه روش‌ها) باعث افزایش MSE در لحظات آغازین شده ولی بزرگتر شدن سایر مقادیر ویژه این مسأله را به سرعت جبران کرده و در نتیجه روند کاهش MSE در روش WBDS به نحو چشمگیری نسبت به روش‌های قبلی شدت یافته است.

۴- شبیه‌سازی

در این بخش به بررسی نتایج حاصل از شبیه‌سازی سیستم OS-SAF به همراه روش‌های ارائه شده برای بهبود همگرایی در دو کاربرد ANC و AEC می‌پردازیم. پارامترهای بانک فیلتر مطابق آنچه در بخش (۲) ذکر گردید ($L=128$, $K=32$ و $OS=4$)، تنظیم می‌گردد.

۴-۱- بررسی کارآیی روش‌های پیشنهادی در کاربرد ANC

در این کاربرد، از یک فیلتر پایین‌گذر به عنوان تابع تبدیل آکوستیکی میان دو میکروفون ($P(z)$) استفاده نموده‌ایم. با توجه به پاسخ ضریب این تابع تبدیل، طول هر یک از فیلترهای وفقی زیرباند $M=16$ در نظر گرفته شده است. با توجه به فرض ثابت بودن حافظه زمانی فیلتر وفقی در روش‌های مختلف، در دو تکنیک WBD و WBDS طول فیلتر (n)_{k'}^w برابر با ۸ خواهد بود. شکل (۱۵) تغییرات زمانی MSE را در چهار روش NoW, WBS و WBD مقایسه نموده است. لازم به ذکر است برخلاف منحنی‌های شکل (۱۰) که برای MSE در خروجی زیرباند اول رسم گردیده، در شکل (۱۵)، MSE تمام‌باند (MSE

مربوط به سیگنال خروجی تمام‌باند (Z) مبنای مقایسه می‌باشد. همچنین، برای هموارسازی تغییرات شدید توان سیگنال خروجی و امکان بررسی روند همگرایی، از یک فیلتر پایین‌گذر درجه اول برای محاسبه MSE استفاده نموده‌ایم. علیرغم تمامی ساده‌سازی‌ها و تقریب‌ها اعمال شده در تحلیل تئوری دو بخش قبل، رفتار سیگنال‌های خروجی حاصل از شبیه‌سازی همخوانی خوبی با نتایج تئوری دارد. مشابه با منحنی‌های تئوری شکل (۱۰)، در این شبیه‌سازی نیز روش WBDS سرعت کاهش MSE را به نحو چشمگیری افزایش داده است. اگرچه تکنیک WBS نیز در افزایش سرعت همگرایی توانمندی خوبی از خود نشان داده ولی همان‌گونه که پیش از این ذکر شد، این الگوریتم از مشکل حجم بالای محاسبات رنج می‌برد. نکته قابل توجه در شکل (۱۵) آن است که به دلیل محاسبه MSE برای سیگنال خروجی تمام‌باند و نیز در اثر مجموعه خطاهای موجود در سیستم عملی اعم از عدم تطابق درجه فیلتر وفقی، aliasing و محدودیت دقت محاسبات، در نهایت MSE در همه روش‌ها به یک حد ثابت و تقریباً یکسان رسیده و روند نزولی آن متوقف می‌گردد. این مسئله، به کارآیی و توانایی روش‌های سفیدسازی خدشهای وارد نمی‌سازد؛ چرا که پارامتر مهم در مقایسه این تکنیک‌ها، سرعت آنها در کاهش MSE در چند ثانیه اول (و نه مقدار نهایی MSE در حالت ماندگار) می‌باشد. در عمل، به دلیل تغییرات زمانی و نایستانی محیط، پس از گذشت لحظاتی مشخصات آکوستیکی تغییر نموده و فیلترهای وفقی مجبور به تطبیق با شرایط جدید می‌باشند.

۴-۲-بررسی کارآیی روش‌های پیشنهادی در کاربرد AEC

کارآیی روش‌های سفیدسازی در کاربرد حذف انعکاس نیز از طریق شبیه‌سازی مورد بررسی قرار گرفته است. در این مورد، تابع تبدیل میان بلندگو تا میکروفون NE را برای یک هدست^{۱۴} محاسبه نموده و در شبیه‌سازی مورد استفاده قرار داده‌ایم. با توجه به طول پاسخ ضربه مربوط به این هدست، طول فیلترهای وفقی (n) w_n برابر با ۲۰ در نظر گرفته شده است. (در نتیجه طول (n) w_n برابر با ۱۰ می‌باشد).

در کاربرد AEC به طور معمول به جای MSE از پارامتر Echo Return Loss Enhancement (ERLE) برای سنجش میزان کارآیی الگوریتم حذف انعکاس استفاده می‌شود. طبق تعریف، ERLE برابر با نسبت توان انعکاس موجود در ورودی دوم نسبت به توان انعکاس در سیگنال خروجی پاکسازی شده می‌باشد. به فرض صفر بودن سیگنال گفتار NE داریم:

$$ERLE_n = \frac{E\{x_n'^2\}}{E\{z_n^2\}} \quad (13)$$

که در آن x' و z_n ، با توجه به شکل (۲) به ترتیب سیگنال انعکاس موجود در میکروفون دوم و سیگنال پاکسازی شده از انعکاس می‌باشد. در حالی که MSE در کاربرد ANC توان نویز باقیمانده را نشان می‌دهد، ERLE در بحث AEC در بحث میزان حذف انعکاس بوده و افزایش سریع آن مطلوب می‌باشد. از این‌رو می‌توان انتظار داشت که منحنی ERLE شکلی قرینه (معکوس) منحنی MSE داشته باشد.

منحنی‌های ERLE مربوط به چهار روش NoW، WBS، WBD و WBDS در شکل (۱۶) به نمایش در آمدۀ است. در این مورد نیز، منحنی‌های رسم شده مربوط به خروجی تمام‌باند می‌باشد. مشابه با آنچه در بحث شبیه‌سازی ANC انجام شد، برای هموارسازی تغییرات شدید در منحنی زمانی ERLE، از یک فیلتر پایین‌گذر درجه اول در محاسبه توان سیگنال‌های انعکاس استفاده نموده‌ایم. توانایی چشمگیر روش WBDS در تسريع همگرایی، در این منحنی خود را به صورت افزایش سریعتر ERLE و حذف میزان بیشتری از انعکاس موجود در سیگنال ورودی نشان داده است. روش WBS نیز هر چند که از نظر حجم محاسبات چندان مطلوب نیست، ولی در مقایسه با حالت بدون سفیدسازی (NoW)، افزایش ERLE را در حد خوبی تسريع نموده است.

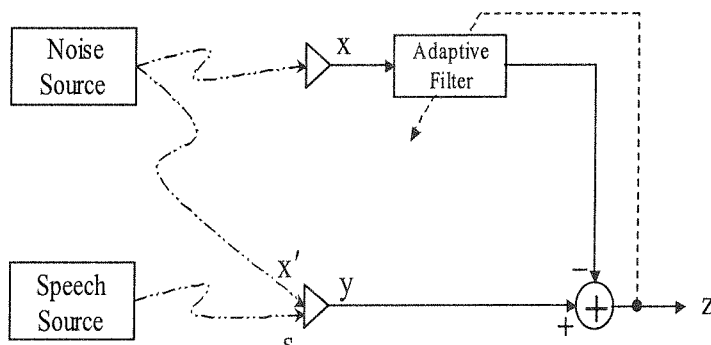
اگرچه در اینجا نیز، مجموعه خطاهای و محدودیت دقت محاسباتی، در نهایت باعث خاتمه روند صعودی ERLE می‌گردد، ولی آنچه مهم است سرعت زیاد افزایش ERLE در چند ثانیه اول می‌باشد؛ چرا که با تغییر مداوم مشخصات محیطی، فیلترهای وفقی می‌باید در سریع ترین زمان قادر به تطبیق با شرایط جدید باشند.

۵- جمعبندی و نتیجه‌گیری

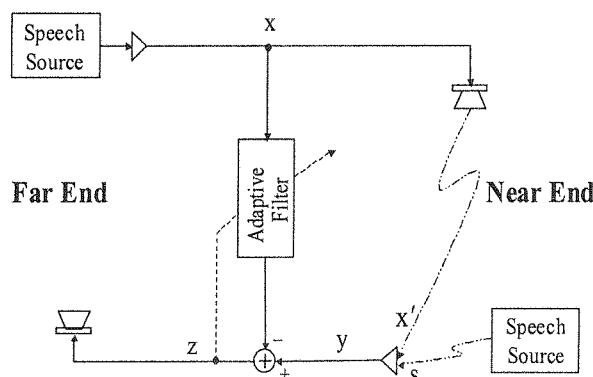
از یکسو، توانایی‌های فیلتر وفقی در حذف نویز و انعکاس و عملکرد مناسب این روش در بهسازی گفتار و از سوی دیگر، مزایای پردازش در زیرباندها، رویکرد به روش SAF را موجب گردیده است. مشکلات ناشی از پیاده‌سازی بانک فیلترهای با نرخ نمونه‌برداری بحرانی، مسأله over-sampling را به عنوان کارآمدترین راه حل ممکن مطرح می‌نماید. استفاده از ساختار OS-SAF با وجود مزایایی که در طراحی بانک فیلتر به همراه می‌آورد، به دلیل رنگی ساختن طیف ورودی باعث کاهش سرعت همگرایی الگوریتم LMS می‌گردد. در این تحقیق، آنالیز Morgan به عنوان ابزاری جهت بررسی نحوه تأثیر مقادیر ویژه در رفتار الگوریتم LMS مورد استفاده قرار گرفت. بر مبنای این تحلیل، روش‌هایی ساده و کارآمد برای سفیدسازی طیف ورودی فیلتر وفقی و تسريع همگرایی در OS-SAF ارائه، پیاده‌سازی و ارزیابی گردید.

دیده شد که روش فیلتر پیش‌تأکید (WBS) با وجود بهبود بخشیدن به سرعت همگرایی، از نقطه ضعفِ افزایش بار محاسباتی رنج می‌برد. در مقابل تکنیک Decimation (WBD) که در اصل به خاطر سفیدسازی طیف پیشنهاد گردیده، در عمل جذابیت‌های محاسباتی آن بیشتر مورد توجه و اهمیت قرار می‌گیرد. این ویژگی مثبت در ترکیب با فیلتر پیش‌تأکید، روش ترکیبی WBDS را در اختیار می‌گذارد که علاوه بر سفیدسازی طیف و افزایش چشمگیر سرعت همگرایی، حجم محاسبات را نیز نسبت به حالت بدون سفیدسازی، به میزان قابل توجهی کاهش می‌دهد.

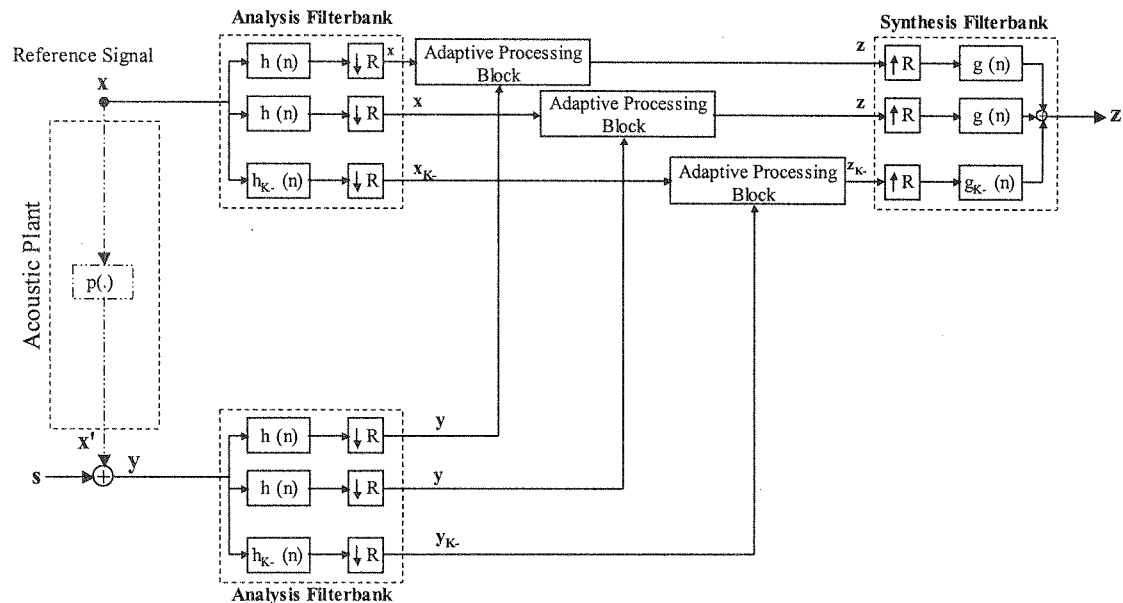
بکارگیری یک شاخه جانبی در پردازشگر وفقی این امکان را فراهم می‌آورد که در عین حال که از ورودی‌های سفیدشده برای تنظیم ضرائب فیلتر توسط الگوریتم LMS بهره‌جويی می‌نماییم، خود سیگنال‌های ورودی را نیز به صورت دست‌نخورده نگهداشته و در شاخه اصلی، به عنوان ورودی فیلتر وفقی و در تولید خروجی پاکسازی شده مورد استفاده قرار دهیم. نتایج حاصل از شبیه‌سازی سیستم OS-SAF و اعمال تکنیک‌های پیشنهادی برای دو کاربرد حذف نویز و انعکاس، توانمندی روش‌های مزبور را در افزایش سرعت همگرایی LMS به اثبات می‌رساند. این موضوع به صورت کاهش سریعتر MSE در خروجی ANC و تسريع روند صعودی ERLE در سیستم AEC مشهود و مشخص می‌باشد.



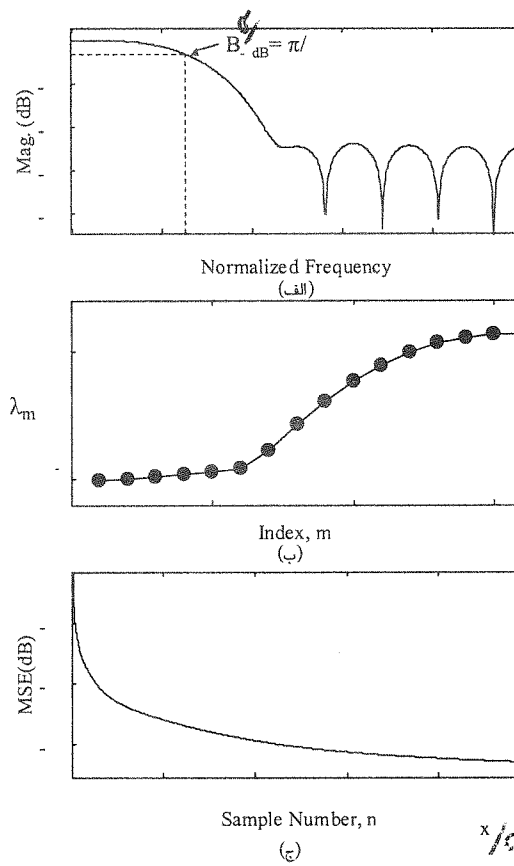
شکل (۱) کاربرد فیلتر وفقی در مسأله حذف نویز (ANC).



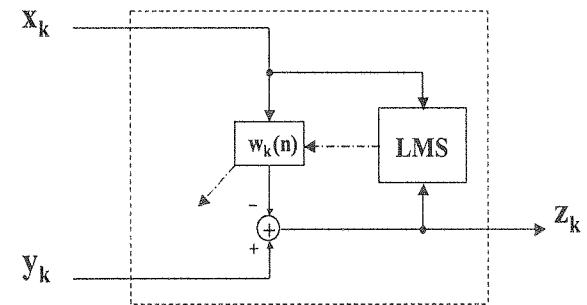
شکل (۲) کاربرد فیلتر وفقی در مسأله حذف انعکاس (AEC).



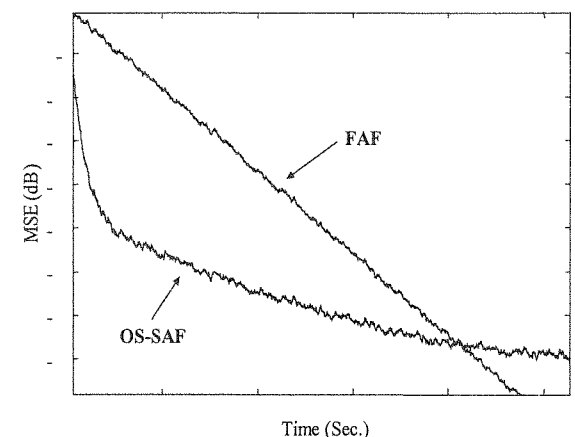
شکل (۳) بلوک دیاگرام سیستم SAF.



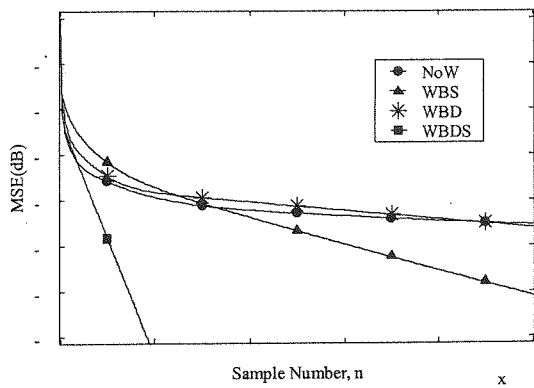
شکل (۴) (الف) طیف سیگنال زیرباند ورودی فیلتر ورقی (x)، (ب) مقادیر ویژه ماتریس خودهمبستگی سیگنال x_k، (ج) منحنی تغییرات زمانی MSE محاسبه شده با فرمول (۷) و با استفاده از مقادیر ویژه فوق.



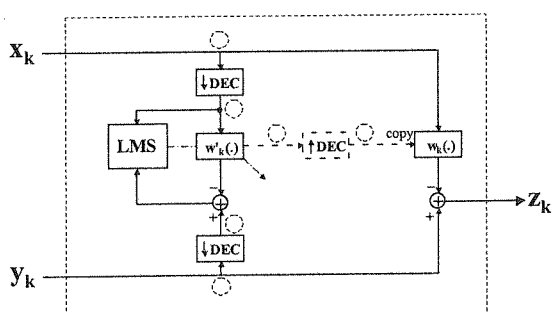
شکل (۴) پردازشگر ورقی مورد استفاده برای هر باند.



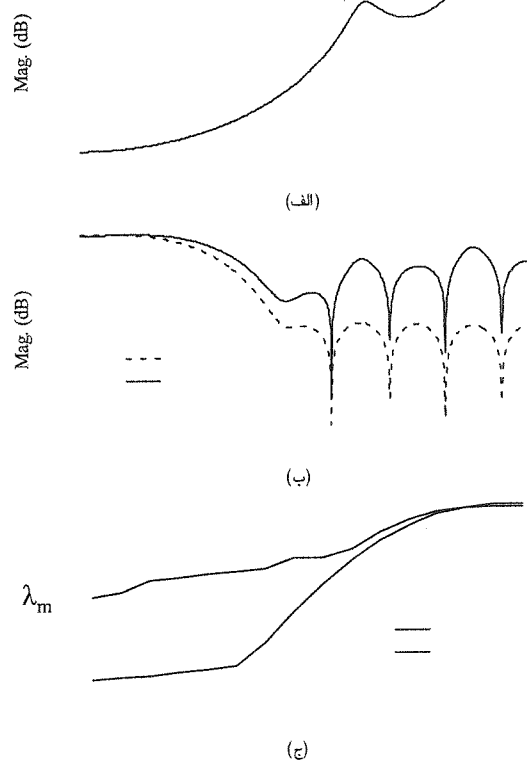
شکل (۵) منحنی تغییرات زمانی MSE برای دو حالت فیلتر ورقی تمام باند (FAF) و فیلتر ورقی زیرباندی با نرخ نمونه برداری افزوده (OS-SAF).



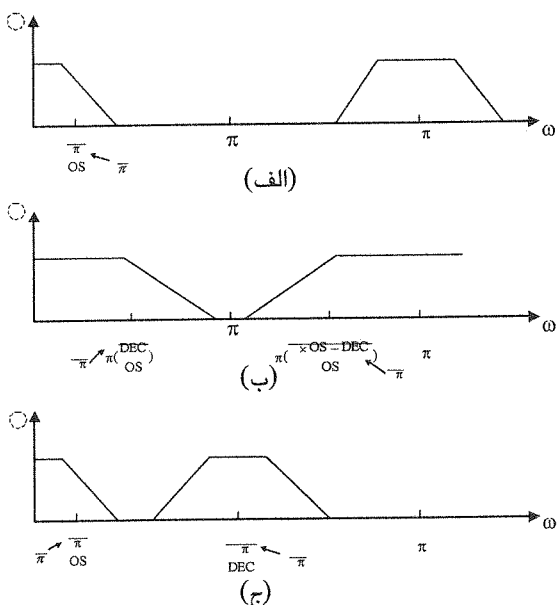
شکل (۱۰) منحنی تغییرات زمانی MSE در حالت‌های .WBDS و WBD، WBS و NoW



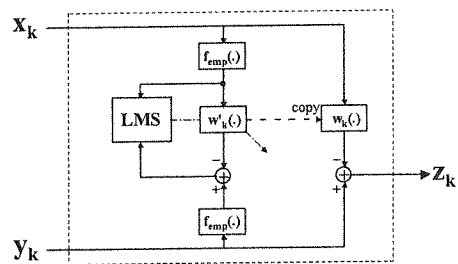
شکل (۱۱) پردازشگر ورقی مورد استفاده در حالت .WBD



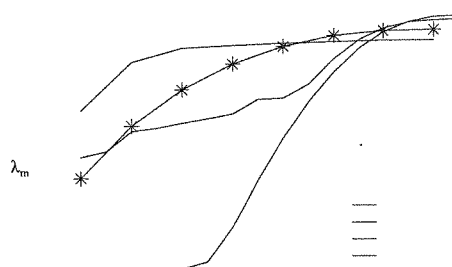
شکل (۷) (الف) پاسخ فرکانسی فیلتر پیش تأکید (طراحی شده برای حالت WBS)، (ب) طیف سیگنال ورودی پیش تأکید شده (WBS) در مقایسه به حالت بدون سفیدسازی (WBS)، (ج) اثر اعمال فیلتر پیش تأکید بر مقادیر ویژه ماتریس خودهمبستگی.



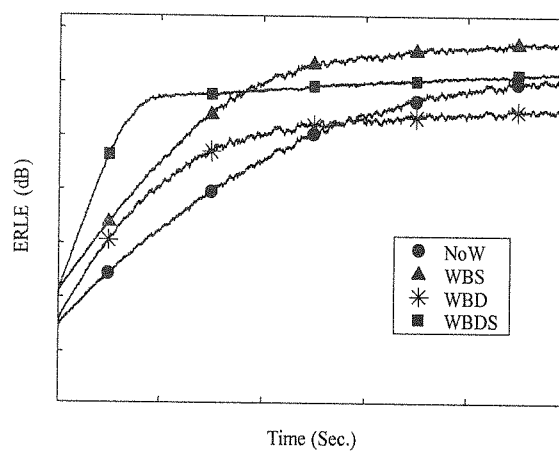
شکل (۱۲) طیف‌های شماتیک مربوط به حالت .WBD
 (الف) سیگنال‌های ورودی، (ب) سیگنال ورودی شده و فیلتر ورقی شاخه جانبی،
 (ج) فیلتر ورقی پس از upsampling



شکل (۸) پردازشگر ورقی مورد استفاده در حالت .WBS.



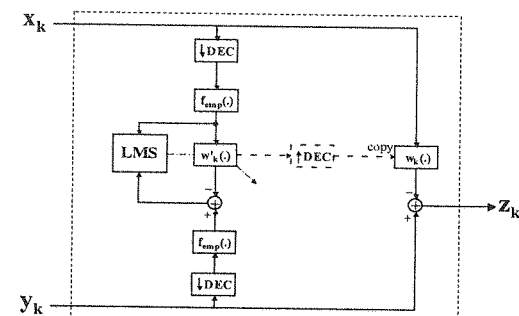
شکل (۹) مقادیر ویژه ماتریس خودهمبستگی سیگنال ورودی در حالت‌های W، WBD، WBS، NoW و WBDS.



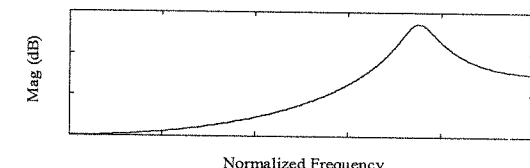
شکل (۱۶) نتایج شبیه‌سازی سیستم AEC: منحنی تغییرات زمانی ERLE مربوط به سیگنال خروجی تمام‌باند در حالت‌های NoW، WBS، WBD و WBDS.

زیرنویس‌ها

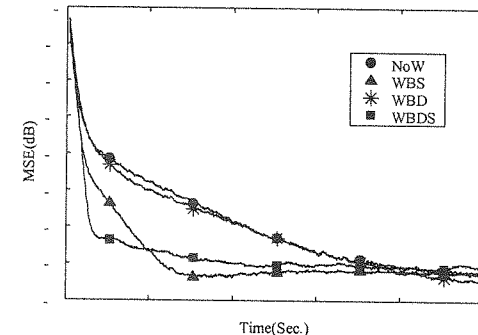
- 1- Fullband
- 2- Residual Noise
- 3- Misadjustment
- 4- Subband Processing
- 5- Critically-sampled Filterbanks
- 6- Quadrature Mirror Filter
- 7- Cross Adaptive Filters
- 8- Gap
- 9- Over-Sampling Rate
- 10- Group Delay
- 11- Weighted OverLap-Add
- 12- Stop-band
- 13- Spectral Images
- 14- Headset



شکل (۱۳) پردازشگر ورقی مورد استفاده در حالت WBDS.



شکل (۱۴) پاسخ فرکانسی فیلتر پیش‌تآکید طراحی شده برای حالت WBDS.



شکل (۱۵) نتایج شبیه‌سازی سیستم ANC: منحنی تغییرات زمانی MSE مربوط به سیگنال خروجی تمام‌باند در حالت‌های WBDS و WBD، WBS و NoW.

مراجع

- [1] B. Widrow and S. D. Stearns, *Adaptive Signal Processing*, Prentice Hall Inc., 1985.
- [2] S. Haykin, *Adaptive Filter Theory*, 3rd ed., Prentice Hall Inc., 1996.
- [3] B. Widrow *et al.*, "Adaptive noise cancellation: principles and applications". *Proc. IEEE*, vol. 63, no. 12, Dec. 1975.
- [4] S. D. Stearns, "Fundamentals of adaptive signal processing," in *Advanced Topics in Signal Processing* (J. S. Lim and A. V. Oppenheim, Eds.), Prentice Hall Inc., 1988.
- [5] A. Gilloire and M. Vetterli, "Adaptive filtering in subbands with critical sampling: analysis, experiments and application to acoustic echo cancellation," *IEEE Tran. Signal Processing*, vol. SP-40, no. 8, pp. 1862-1875, Aug. 1992.
- [6] S. Weiss, "On adaptive filtering in oversampled subbands," PhD. Thesis, signal Processing Division, University of Strathclyde, Glasgow, May 1998.
- [7] A. Hussain, "Intelligibility assessment of a multi-band speech enhancement scheme," in *Proc. of the IEEE ICASSP*, 2000.
- [8] M. G. Siqueira, *et al.*, "Subband adaptive filtering applied to acoustic feedback reduction in hearing aids," in *Proc. of 30th Asilomar Conf. on Signals, Systems and Computers*, 1996.
- [9] M. Sandrock and S. Schmitt, "Realization of an adaptive algorithm with subband filtering approach for acoustic echo cancellation in telecommunication applications," in *Proc of the ICSPAT*, 2000.

- hearing aids,” in *Proc. IEEE Int. Symp. Circuits and Systems*, pp. 569-572, 1998.
- [11] J. J. Shynk, “Frequency-domain and multirate adaptive filtering,” *IEEE Signal Processing Magazine*, pp. 14-37, Jan. 1992.
- [12] R. W. Stewart, *et al.*, “Subband adaptive equalization of time-varying channels,” in *Proc. of 33rd Asilomar Conf. on Signals, Systems and Computers*, 1999.
- [13] M. Hateneck, R. W. Stewart and J. M. Paez-Borrallo, “An oversampled subband adaptive filter without cross adaptive filters,” in *Proc. of the 1999 IEEE Workshop on Acoustic Echo and Noise Control*, 1999.
- [14] R. Brennan and T. Schneider, “Filterbank structure and method for filtering and separating an information signal into different bands, particularly for audio signal in hearing aids,” United States patent 6,236,731, WO 98/473131, April 16, 1997.
- [15] D.R. Morgan, “Slow asymptotic convergence of LMS acoustic echo cancelers”, *IEEE Tran. on Speech and Audio Processing* , vol.3, no.2, pp. 126-136, Mar. 1995.
- [16] R. M. Gray, “On the asymptotic eigenvalue distribution for Toeplitz matrices,” *IEEE Trans. Inform. Theory*, vol. IT-18, pp. 725-730, Nov. 1972.
- [17] K. Tam, H. Sheikhzadeh and T. Schneider, “Highly oversampled subband adaptive filters for noise cancellation on a low-resource DSP system,” in *Proc. Int. Conf. on Spoken Language Processing*, ICSLP’2002.